

Paralelní řadící algoritmy

prof. Ing. Pavel Tvrdík CSc.

Katedra počítačových systémů
Fakulta informačních technologií
České vysoké učení technické v Praze
©Pavel Tvrdík, 2010

Paralelní algoritmy a systémy (MI-PAR)
ZS 2010/11, Přednáška 8

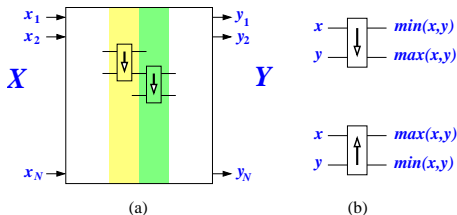
<https://edux.fit.cvut.cz/MI-PAR/>



Úvod do paralelního řazení založeného na operaci porovnání

- Tato přednáška: **Paralelní deterministické** řadící alg. založené na operaci **porovnej-a-vyměň** (Compare-and-Exchange, C&E).
- Dolní mez na počet C&E operací pro seřazení N čísel je $\Omega(N \log N)$.
- \exists optimální sekvenční algoritmy (HeapSort, MergeSort, ...).
- \exists časově a cenově optim. PRAM // řadící alg.: **Coleův MergeSort**.
 $T(N, N) = O(\log N)$ // C&E kroků na EREW PRAM.
- \exists asymptoticky optimální // řadící algoritmy na mřížkách:
 $T(N, N) = O(k\sqrt{N})$ // C&E kroků na 2-D mřížce, $2 < k < 3$.
- Nejpraktičtější // řadící algoritmus na hyperkubických sítích:
Batcherův MergeSort s $T(N, N) = O(\log^2 N)$ kroků na $oBF_{\log N}$ nebo $Q_{\log N}$.

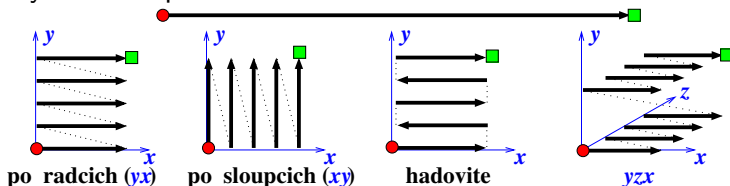
Nepřímé řadící sítě



- (a) **Řadící síť** = síť složená ze **sloupců komparátorů** (jako MIN).
- (b) **Komparátor** = HW implementace operace C&E (vzestupně, sestupně).
- **Nesetříděná vstupní** posloupnost $X = [x_1, \dots, x_N]$ je permutována na **setříděnou výstupní** posloupnost (klesající, rostoucí, bitonickou)
 $Y = [y_1, \dots, y_N]$.
- **Statická** řadící síť = HW implementace **datově necitlivého** řadícího alg.
- Počet // C&E kroků = **hloubka** řadící sítě = délka nejdelší cesty ze vstupu na výstup.
- Je-li $N > \#$ vstupních vodičů \Rightarrow operace **Sluč-a-Rozděl** (Merge-and-Split, M&S).

Přímé řadící sítě

- C&E operace mezi dvojicí procesorů: $\begin{matrix} P_i \\ x \end{matrix} \xleftrightarrow{CE} \begin{matrix} P_{i+1} \\ y \end{matrix} \Rightarrow \begin{matrix} P_i \\ y \end{matrix} \rightarrow \begin{matrix} P_{i+1} \\ x \end{matrix}$
- Topologie: mřížky, toroidy, hyperkrychle, hyperkubické sítě, ...
- Přímý řadící alg. = posloupnost **dokonalých párování procesorů** (perfect matchings) odvozených z očíslování procesorů.
- 1 dokonalé párování se skládá z $\lfloor p/2 \rfloor$ disjunktních dvojic.
- **Datově necitlivé řazení**: způsob párování nezávisí na vstupních datech.
- Výběr vhodného **číslování (lineárního indexování)** procesorů **má vliv na složitost C&E řazení pro danou topologii.**
- Příklady číslování procesorů v mřížkách.



Škálovatelnost při $p < N$

- N/p čísel na 1 procesor + operace **Sluč-a-Rozděl** (M&S)
 - ▶ Každý procesor setřídí svých N/p čísel v $O((N/p) \log(N/p))$ krocích.
 - ▶ Všechny procesory provádějí přímý řadící algoritmus, kde používají M&S místo C&E.
- $M\&S(P_i, P_j)$, $i < j$, lze implementovat 2 asympt. ekvivalentními způsoby:

I. Plně-duplexní kanály:

- (1) P_i a P_j si vymění své podposloupnosti.
- (2) Každý provede M&S se svou a s obdrženou podposloup.
- (3) Každý si ponechá svou polovinu a druhou zahodí.

II. Polo-duplexní kanály:

- (1) P_i pošle svou podposloupnost P_j .
- (2) P_j provede operaci M&S.
- (3) P_j vrátí 1. polovinu výsledku P_i a ponechá si druhou.

Časová složitost řadících algoritmů

Věta 1

Nechť $\tau(N) = T(N, N)$ je počet // C&E kroků řazení N čísel na N -procesorové síti G . Pak počet // C&E kroků řazení N čísel na p -procesorové síti G , $p \leq N$, je

$$T(N, p) = O\left(\frac{N}{p} \log \frac{N}{p}\right) + O\left(\tau(p) \frac{N}{p}\right). \quad (1)$$

Naivní PRAM řadící algoritmus

Algorithm NAIVEPRAMSORT($X = [x_1, \dots, x_N]$) on EREW PRAM(N, p)

- (1) Každému P_i je přiřazena podposloup. N/p čísel v sdílené paměti.
- (2) Každý P_i setřídí svých N/p čísel v $O((N/p) \log(N/p))$ C&E krocích.
- (3) Všechny P provedou **paralelní redukci sloučením** seřazením podposloup.:
 1. fáze: $p/2$ P s sloučí $p/2$ párů podposloup. o velikosti N/p .
 2. fáze: $p/4$ P s sloučí $p/4$ párů podposloup. o velikosti $2N/p$.
 - ...
 - atd.
 - $(\log p)$ -tá fáze: 1 zbývající P sloučí poslední 2 podposloup. o velikosti $N/2$.

- $T(N, p) = O\left(\frac{N}{p} \log \frac{N}{p}\right) + O\left(\frac{N}{p} + \frac{2N}{p} + \dots + N\right) = O\left(\frac{N}{p} \log \frac{N}{p} + N\right)$
- $T_{\min}(N, p) = T(N, N) = O(N)$
- $E(N, p) = \Theta\left(\frac{\log N}{\log(N/p)+p}\right) = \Theta\left(\frac{\log N}{\log N+p}\right)$
- $\psi_1(p) = (2^p/p)^{O(1)}$, $\psi_2(N) = \log N$, $\psi_3(N) = \log N$.
- NAIVEPRAMSORT je špatně škálovatelný: čas je řádově stejný pro $p \in \{\log N, \dots, N\}$!!

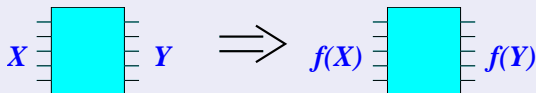
Datově necitlivé řazení a 0-1 Řadící Lemma

Lemma 2

Nechť f = **monotonně rostoucí** funkce na lineárně uspořádané množině S ,

$$\text{čili } \forall x, y \in S; x \leq y \Leftrightarrow f(x) \leq f(y).$$

Pak:



Důkaz. (Indukcí přes hloubku sítě.)

- Samotný komparátor je datově necitlivý vzhledem k jakékoli m.r. funkci f (pro $x, y \in S$, komparátor vymění $f(x)$ a $f(y)$ \Leftrightarrow vymění x a y)

$$\begin{array}{ccc} x & \text{---} \text{cyan box} \text{---} & \min(x, y) \\ y & \text{---} \text{cyan box} \text{---} & \max(x, y) \end{array} \Rightarrow \begin{array}{ccc} f(x) & \text{---} \text{cyan box} \text{---} & \min(f(x), f(y)) = f(\min(x, y)) \\ f(y) & \text{---} \text{cyan box} \text{---} & \max(f(x), f(y)) = f(\max(x, y)) \end{array}$$

- Indukční krok:

Nese-li určitý vodič v řadící síti hodnotu x_i , když je na vstupu posloupnost X , pak tentýž vodič nese hodnotu $f(x_i)$, když je na vstupu $f(X)$.

0-1 Řadící Lemma

Lemma 3

Jestliže datově necitlivý řadící algoritmus dokáže setřídít libovolnou binární vstupní posloupnost, pak dokáže setřídít libovolnou vstupní posloupnost.

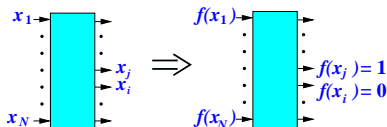
Důkaz. (Sporem.)

- Předpokládejme, že řadící síť třídí správně všechny binární posloupnosti.
- Předpokládejme ale, že nesetřídí správně nebinární posloupnost $X = [x_1, \dots, x_N]$
 $\Rightarrow \exists x_i < x_j$ v X takové, že x_j je na výstupu umístěn před x_i .

- Definujme

$$f(z) = \begin{cases} 0, & \text{jestliže } z \leq x_i, \\ 1, & \text{jestliže } z > x_i. \end{cases}$$

- f je monotonně rostoucí & $f(X)$ = binární vstupní posloupnost & platí Lemma 2
 $\Rightarrow f(x_j) = 1$ je na výstupu umístěn před $f(x_i) = 0$, je-li na vstupu $f(X)$
 \Rightarrow spor. ■



Sudo-liché transpozice (paralelní BubbleSort) na 1-D mřížce

Algorithm EOTSORT($X = \langle x_1, \dots, x_N \rangle$) on $M(N)$

for $j := 1 \dots \lceil N/2 \rceil$ **do_sequentially**

begin

for all $i := 1, 3, \dots, 2 \lfloor N/2 \rfloor - 1$ **do_in_parallel** $C \& E(x_i, x_{i+1})$;

for all $i := 2, 4, \dots, 2 \lfloor (N-1)/2 \rfloor$ **do_in_parallel** $C \& E(x_i, x_{i+1})$;

end

Sudo-lichá transpozice na 1-D mřížce (pokr.)

Věta 4

EOTSORT setřídí N čísel na mřížce $M(N)$ v N krocích.

Důkaz. (Pomocí 0-1 Řadící Lemmy.)

- Uvažujme libovolnou binární posloupnost k hodnot 1 a $N - k$ hodnot 0, $1 \leq k \leq N - 1$.
- 1. jednička zprava má napravo pouze nuly \Rightarrow začne se pohybovat doprava nejpozději v 2. kroku a setrvá v pohybu bez přerušení, dokud nedosáhne cílové pozice N .
- Podobně, 2. jednička zprava se dá do pohybu doprava nejpozději v 3. kroku.
- Konečně, poslední k -tá jednička zprava se dá do pohybu směrem k pozici $N - k + 1$ nejpozději v kroku $k + 1$.
- Tudíž, v nejhorším případě je celkový počet kroků $k + (N - k) = N$.



Sudo-lichá transpozice na 1-D mřížce (pokr.)

Škálovatelnost

Důsledek 5 (věta 1 a 4)

EOTSort setřídí N čísel na mřížce $M(p)$, $p < N$, v

$$T(N, p) = O\left(\frac{N}{p} \log \frac{N}{p}\right) + O(N) \quad \text{krocích.}$$

Důkaz. Věta 4 dává $\tau(N) = N$ a dle Věty 1 platí

$$T(N, p) = O\left(\frac{N}{p} \log \frac{N}{p}\right) + O\left(p \frac{N}{p}\right). \blacksquare$$

Sudo-lichá transpozice na 1-D mřížce (pokr.)

Závěr

- Stejně špatná škálovatelnost jako u NAIVEPRAMSORT:
 - ▶ Cenová optimalita: $C(N, p) = O(N \log N)$, pouze je-li $p = O(\log N)$.
Např.: $C(N, N) = O(N^2)$.
 - ▶ Paralelní čas je $O(N)$, pouze je-li $p = \Omega(\log N)$ čili pro $p \in \{\log N, \dots, N\}$.
- Nicméně: EOTSort je topologicky optimální!!!!

SHEARSORT na 2-D mřížce $M(n, m)$, kde $N = nm$

Algorithm SHEARSORT($X = \langle x_1, \dots, x_N \rangle$)

for $i = 1, \dots, 2 \log n + 1$ **do_sequentially**

if (i je liché)

then seřídí všechny řádky střídavými směry (* řádková fáze *)

else seřídí všechny sloupce směrem dolů (* sloupcová fáze *)

Výrok 6

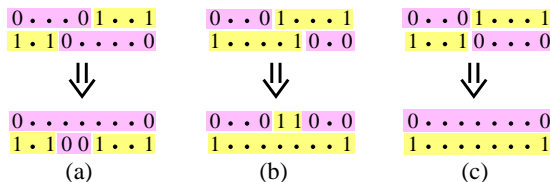
1 řádková a 1 sloupcová fáze zmenší počet nečistých řádek na nejmeně polovinu.

Důkaz. (Pomocí 0-1 Řadící Lemmy.) Uvažujme jakoukoli binární $n \times m$ matici.

- V matici obecně \exists **čisté jedničkové**, **čisté nulové** a **nečisté** řádky.
- \exists pouze 3 případy aplikace 1 řádkové + sloupcové fáze na 2 **sousední špinavé řádky**.
- Ve všech těchto 3 případech klesne počet špinavých řádků v každé dvojici na 1 nebo na 0.



SHEARSort na 2-D mřížce (pokr.)



Věta 7

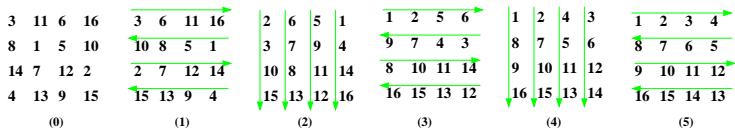
SHEARSort třídí hadovitě nm čísel na $M(n, m)$

v $\lceil \log n \rceil + 1$ řádkových fázích a $\lceil \log n \rceil$ sloupcových fázích.

Důkaz. Na začátku může vstupní matice v nejhorším případě obsahovat n nečistých řádků. Po $\log n$ řádkových a $\log n$ sloupcových fázích, zbývá max. 1 nečistý řádek \Rightarrow nutná ještě 1 řádková fáze. ■

SHEARSort na 2-D mřížce (pokr.)

Pět fází SHEARSortu na $M(4, 4)$



Poznámka 8

Modifikovaný algoritmus s tříděním řádků stejným směrem nefunguje.

SHEARSort na 2-D mřížce (pokr.)

Škálovatelnost SHEARSortu na $M(\sqrt{p}, \sqrt{p})$

Důsledek 9 (věta 1 a 7)

Algoritmus SHEARSort setřídí N čísel na 2-D mřížce $M(\sqrt{p}, \sqrt{p})$ v

$$T(N, p) = O\left(\frac{N}{p} \log \frac{N}{p}\right) + O\left(\log p \frac{N}{\sqrt{p}}\right) \quad \text{paralelních C\&E kroků} \quad \text{a}$$

$$\psi_1(p) = p^{\alpha\sqrt{p}} \quad \text{a} \quad \psi_2(N) = \left(\frac{\log N}{\log \log N}\right)^2 \quad \text{a} \quad \psi_3(N) = N.$$

3DSort: Lexikografické řazení na 3-D mřížce $M(n, n, n)$

Algorithm 3DSORT($X = [x_1, \dots, x_N]$) na 3-D mřížce $M(n, n, n)$, kde $N = n^3$

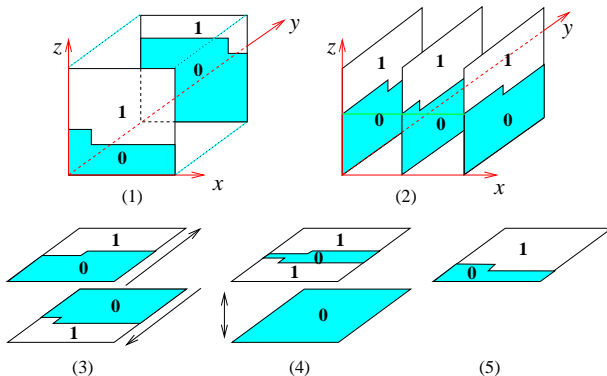
Fáze 1. Setříd' všechny xz -roviny v zx -pořadí.

Fáze 2. Setříd' všechny yz -roviny v zy -pořadí.

Fáze 3. Setříd' všechny xy -roviny v yx -pořadí **střídavě** ve směru y .

Fáze 4. Proveď jednu licho-sudou a jednu sudo-lichou transpozici ve všech sloupcích.

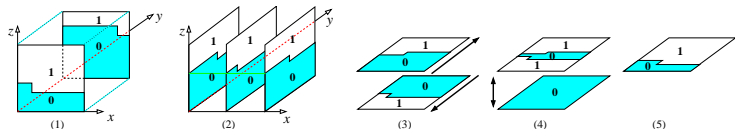
Fáze 5. Setříd' všechny xy -roviny v yx -pořadí.



3DSort: Lexikografické řazení na 3-D mřížce $M(n, n, n)$ (pokr.)

Věta 10

Alg. 3DSORT na mřížce $M(n, n, n)$ setřídí $N = n^3$ čísel lexikograficky v zyx pořadí v $O(\sqrt[3]{N} \log N)$ paralelních C&E krocích, je-li v rovinách použit SHEARSORT.



Důkaz. (Pomocí 0-1 Řadicí Lemmy.) Uvažujme libovolnou binární vstupní posloupnost.

- Po fázi 1, v každé xz -rovině, existuje nejvýše 1 nečistý řádek, a proto:
 - jakékoli 2 yz -roviny se mohou lišit v **nejvýše** n nulách,
 - a všech n yz -rovin obsahuje ve svých nečistých řádcích souhrnně **nejvýše** n^2 prvků.
- Tudíž, po fázi 2, všechny nečisté řádky mohou překlenout **nejvýše** 2 xy -roviny.
- Je-li nečistá xy -rovina pouze jedna, jdeme přímo na fázi 5 a jsme hotovi.
- \exists -li 2 nečisté xy -roviny, fáze 3 a 4 vyčistí aspoň 1 z nich a fáze 5 dokončí řazení. ■

3DSort: Lexikografické řazení na 3-D mřížce $M(n, n, n)$ (pokr.)

Škálovatelnost v $M(\sqrt[3]{p}, \sqrt[3]{p}, \sqrt[3]{p})$ (je-li v rovinách použit SHEAR-SORT)

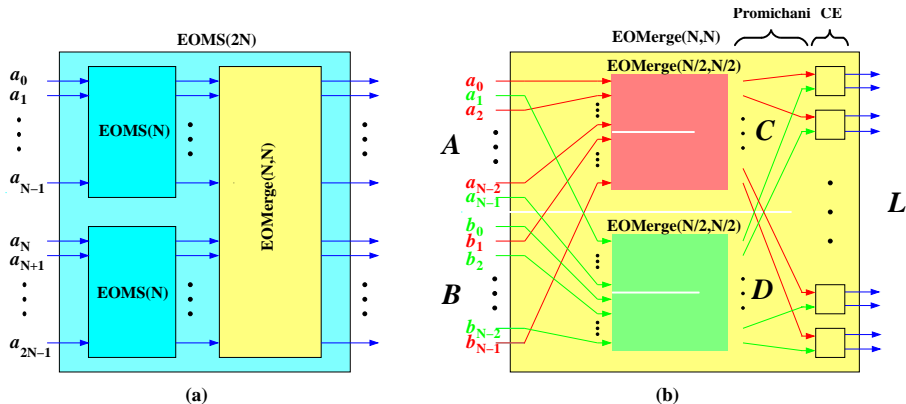
$$T(N, p) = O\left(\frac{N}{p} \log \frac{N}{p}\right) + O\left(\frac{N}{\sqrt[3]{p^2}} \log p\right)$$

$$\text{a } \psi_1(p) = p^\alpha \sqrt[3]{p} \quad \text{a } \psi_2(N) = \left(\frac{\log N}{\log \log N}\right)^3.$$

Řazení na hyperkubických sítích

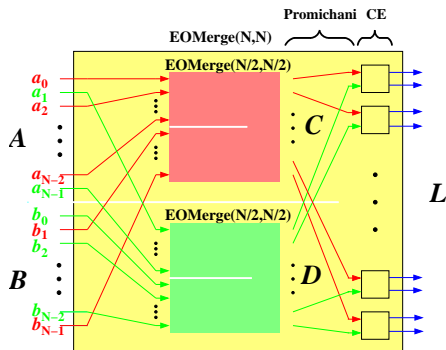
- Základem je klasický sekvenční MergeSort.
- Paralelizace = Batcherovy algoritmy:
 - ▶ Sudo-Lichý MergeSort,
 - ▶ Sudo-Sudý MergeSort,
 - ▶ Bitonický MergeSort.
- Realizace:
 - ▶ řadící nepřímá síť,
 - ▶ motýlek,
 - ▶ hyperkrychle,
 - ▶ simulace na mřížkách.

Sudo-Lichý MergeSort (EOMS)



$$\text{EOMS}(a_0, \dots, a_{2N-1}) = \text{EOMERGE}(\text{EOMS}(a_0, \dots, a_{N-1}), \text{EOMS}(a_N, \dots, a_{2N-1}))$$

Sudo-Liché Sloučení (EOMERGE)



$$L = \text{EOMERGE}(A, B) = \text{Parovane_CE}(\text{Promichani}(\text{EOMERGE}(\text{even}(A), \text{odd}(B)), \text{EOMERGE}(\text{odd}(A), \text{even}(B)))).$$

$$C = \text{EOMERGE}(\text{even}(A), \text{odd}(B))$$

$$D = \text{EOMERGE}(\text{odd}(A), \text{even}(B))$$

$$L' = \text{Promichani}(C, D)$$

$$L = \text{EOMERGE}(A, B) = \text{Parovane_CE}(L')$$

Důkaz správnosti Sudo-Lichého sloučení

Věta 11

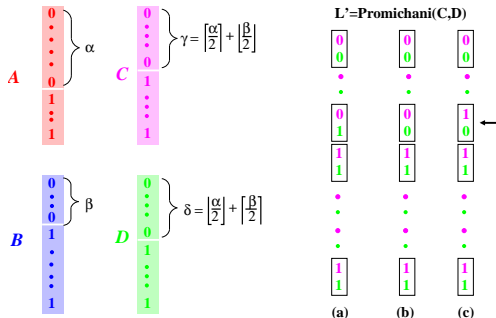
EOMERGE sloučí 2 setříděné posloupnosti A , B délky N

v $\log N + 1$ paralelních C&E krocích použitím $N(\log N + 1)$ komparátorů.

Důkaz. (Pomocí 0-1 Řadící Lemmy.) Věta platí pro $N = 1$. Nechť $N = 2^k$, $k \geq 1$.

Nechť $\gamma = \lceil \alpha/2 \rceil + \lfloor \beta/2 \rfloor$ a $\delta = \lfloor \alpha/2 \rfloor + \lceil \beta/2 \rceil \Rightarrow |\gamma - \delta| \leq 1$

\Rightarrow **počet nul v C a D se může lišit nejvýše o jedna.**



Časová a cenová složitost EOMERGE

Nechť

- $d_m(2N) = \text{hloubka EOMERGE}(N, N)$,
- $d_m(2) = 1$ (1 komparátor).

Potom

- EOMERGE(N, N) je rekurzivní a každý stupeň rekurze přidá právě 1 sloupec komparátorů:

$$d_m(2N) = d_m(N) + 1$$

\Rightarrow

$$d_m(2N) = \log N + 1 = \log(2N).$$

Cenová složitost EOMERGE = počet komparátorů

$$c_m(2N) = Nd_m(2N) = N \log(2N)$$



Časová a cenová složitost EOMS

Věta 12

EOMS(N) dokáže setřídít N čísel

v $O(\log^2 N)$ paralelních C&E krocích s použitím $O(N \log^2 N)$ komparátorů.

Důkaz. Necht'

- $d_s(N)$ = hloubka EOMS(N),
- $c_s(N)$ = počet komparátorů EOMS(N).

Potom

- $d_s(2) = 1$
 $\& d_s(2N) = d_s(N) + d_m(2N) = d_s(N) + \log(2N)$
 \Rightarrow

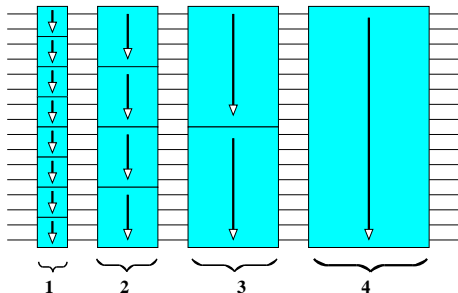
$$d_s(N) = \log N(\log N + 1)/2 = O(\log^2 N)$$
- $c_s(2) = 1$
 $\& c_s(2N) = 2c_s(N) + c_m(2N) = 2c_s(N) + N \log(2N)$
 \Rightarrow

$$c_s(N) = Nd_s(N)/2 = O(N \log^2 N).$$



Rozvinutí sítě EOMS

- EOMS zachází se vstupní posloupností jako s posloupností N dvojic.
- Po průchodu komparátorem, každá dvojice se stane setříděnou podposloupností délky 2.
- Tyto podposloupnosti se pak sloučí do $N/2$ setříděných podposloupností délky 4, pak do $N/4$ podposloupností délky 8, atd.
- V posledním slučovacím kroku, 2 setříděné rostoucí posloupnosti délky N jsou sloučeny do výsledné posloupnosti délky $2N$.

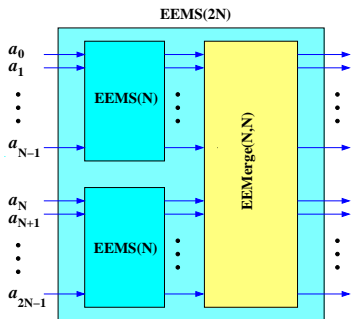


Sudo-Sudý MergeSort (EEMS)

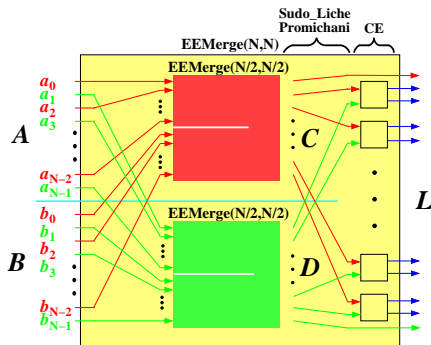
$$\text{EEMS}(a_0, \dots, a_{2N-1}) = \text{EEMERGE}(\text{EEMS}(a_0, \dots, a_{N-1}), \text{EEMS}(a_N, \dots, a_{2N-1}))$$

$$\text{EEMERGE}(A, B) = \text{Parovane_CE}(\text{Sudo_Liche_Promichani}(C, D))$$

$$C = \text{EEMERGE}(\text{even}(A), \text{even}(B))$$

$$D = \text{EEMERGE}(\text{odd}(A), \text{odd}(B))$$


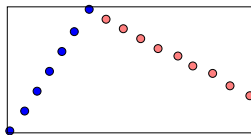
(a)



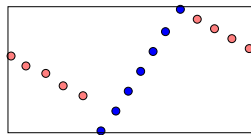
(b)

Bitonické posloupnosti

1 **údolí** a 1 **vrchol** nezávisle na rotacích.

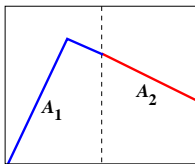


(a)

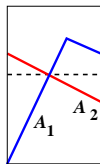


(b)

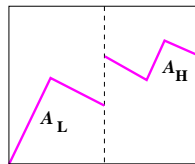
Bitonické rozdělení



(a)



(b)



(c)

Bitonické posloupnosti (pokr.)

Lemma 13

*Je-li $A = a_0, a_1, \dots, a_{2N-1}$ bitonická, její **bitonické rozdělení** je $A' = A_L A_H$, kde*

$$A_L = \min(a_0, a_N), \min(a_1, a_{N+1}), \dots, \min(a_{N-1}, a_{2N-1}),$$
$$A_H = \max(a_0, a_N), \max(a_1, a_{N+1}), \dots, \max(a_{N-1}, a_{2N-1}).$$

- Pak:*
- (1) A_L a A_H jsou opět bitonické.
 - (2) Každé číslo v A_L je menší než libovolné číslo v A_H .

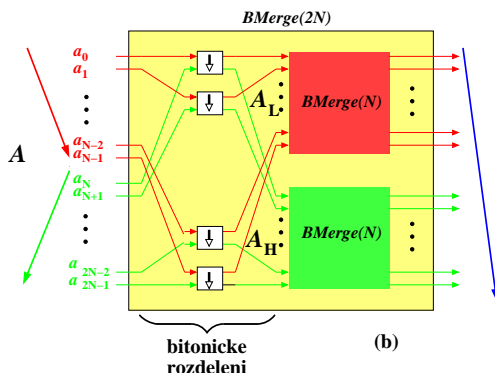
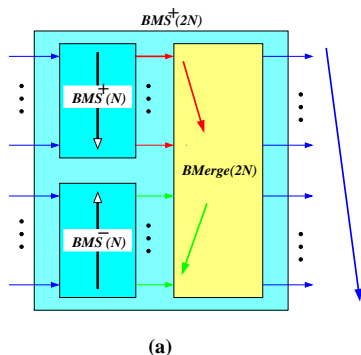
Pozorování

Rekurzivní aplikace bitonického rozdělení na bitonickou A ji změní na monotonní!!



⇒ Bitonické Sloučení ⇒ Bitonický MergeSort

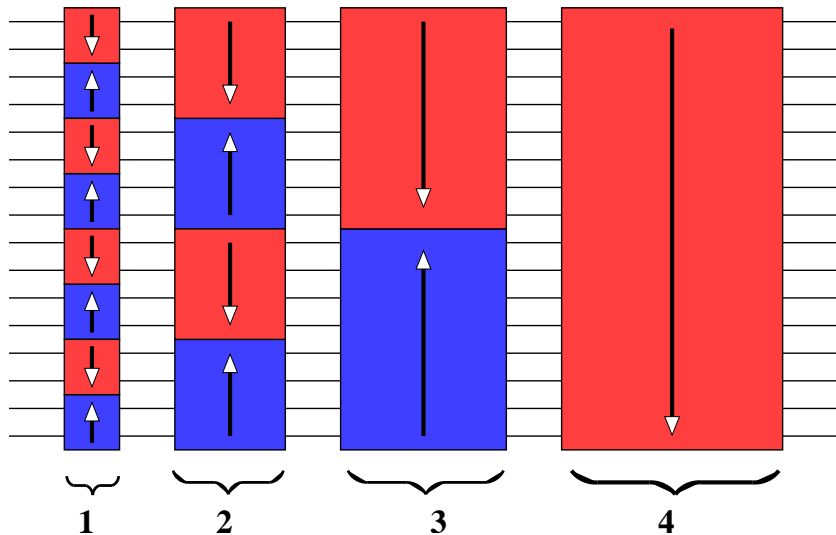
Bitonický MergeSort (BMSort)

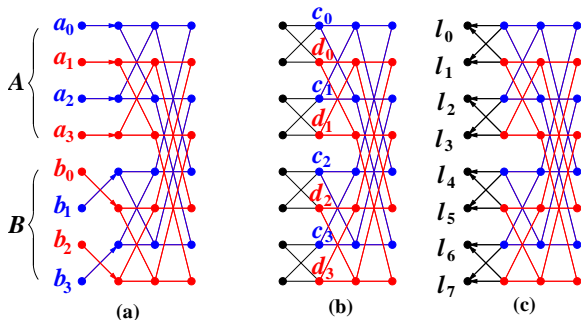


$$BMS^+(a_0, \dots, a_{2N-1}) = BMERGE(BMS^+(a_0, \dots, a_{N-1})BMS^-(a_N, \dots, a_{2N-1}))$$

$$BMERGE(A) = BMERGE(A_L)BMERGE(A_H), \text{ kde } (A_L A_H) = \text{Bitonické_Rozdělení}(A)$$

Rozvinutí bitonické řadicí sítě

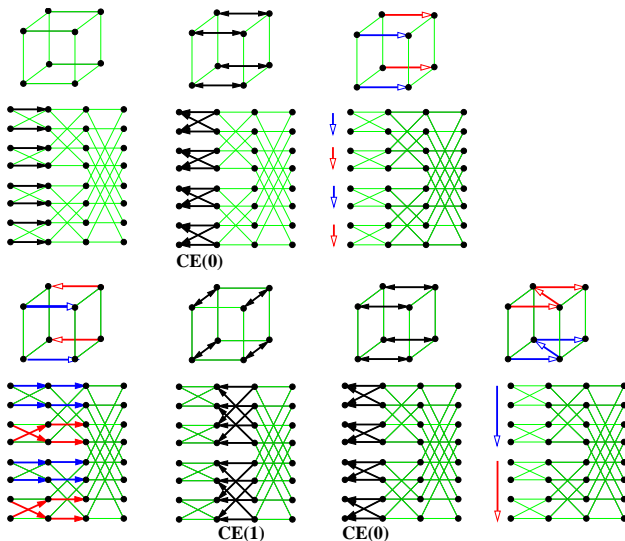


Implementace EOMS na topologii motýlek oBF_n 

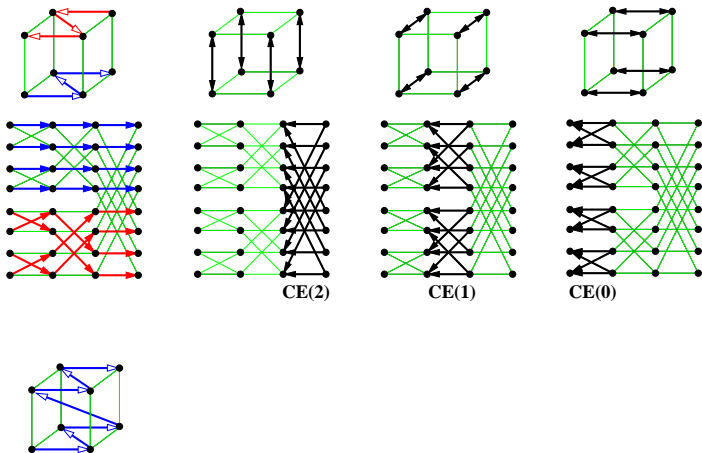
Realizace $L = \text{EOMERGE}(A, B)$ na $oBF_n =$

- (a) Přenos 1.stupněm A v horní půlce rovně a B v dolní půlce křížem.
- (b) Rekurzivní konstrukce:
 - ▶ $C = \text{EOMERGE}(\text{even}(A), \text{odd}(B))$ v **MODRÉM** oBF_{n-1} ,
 - ▶ $D = \text{EOMERGE}(\text{odd}(A), \text{even}(B))$ v **ČERVENÉM** oBF_{n-1} .
- (c) Konstrukce $L = \text{Parovane_CE}(\text{Promichani}(C, D))$ zpětným průchodem **prvním** stupněm motýlka.

Sudo-Lichý MergeSort 8 čísel na Q_3



Sudo-Lichý MergeSort 8 čísel na Q_3 (pokr.)

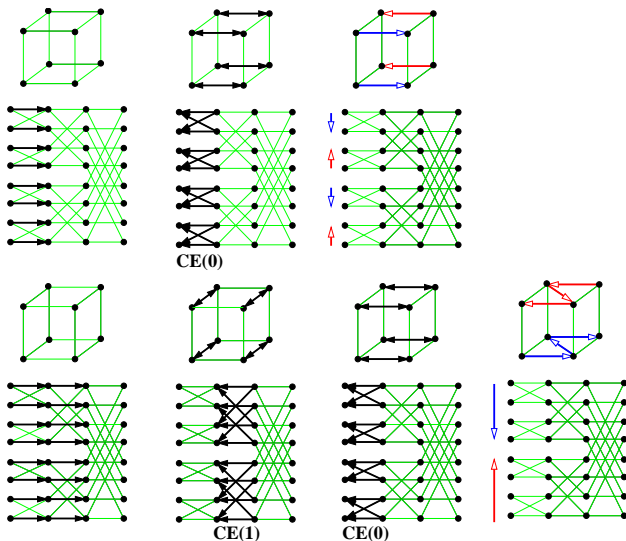


Pozorování:

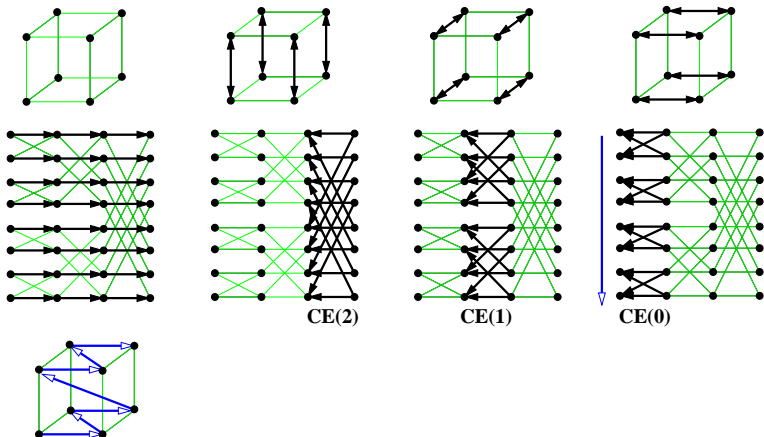
Každá druhá podposloupnost je otočena (rostoucí \rightarrow klesající)

ALE to je přesně to, co Bitonický MergeSort dělá zadarmo!!!!

CUBE BMS: Bitonický MergeSort 8 čísel na Q_3



CUBEBS: Bitonický MergeSort 8 čísel na Q_3 (pokr.)



Časová složitost a škálovatelnost CUBEBS

Věta 14

Algoritmus CUBEBS pro $N = 2^n$ čísel na Q_n vyžaduje $T(N, N) = O(\log^2 N)$ paralelních C&E kroků. Pro $p = 2^k$, $k < n$,

$$T(N, p) = O\left(\frac{N}{p} \log \frac{N}{p}\right) + O\left(\frac{N}{p} \log^2 p\right)$$

$$\text{a } \psi_1(p) = p^{\alpha \log p} \quad \text{a } \psi_2(N) = 2^{\sqrt{\alpha' \log N}}$$

Implementace CUBEBMS na PRAM

Triviální.

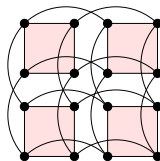
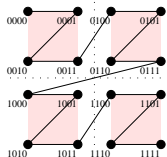
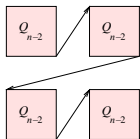
MESHBMS: Simulace CUBEBS na 2-D mřížce

- **Peanova křivka** indukují vnoření $(\varphi, \xi) : Q_n \xrightarrow{\text{emb}} M_n$, kde

- 1 $M_n = M(2^{\frac{n}{2}}, 2^{\frac{n}{2}})$ pro sudá n ,
- 2 $M_n = M(2^{\frac{n-1}{2}}, 2^{\frac{n+1}{2}})$ pro lichá n ,

a dilatace hyperkubické hrany dimenze i je $2^{\lfloor \frac{i}{2} \rfloor}$, $0 \leq i \leq n-1$,
protože

mřížková vzdálenost mezi $\varphi(u)$ a $\varphi(u \oplus 2^i)$ je $d_i = 2^{\lfloor \frac{i}{2} \rfloor}$ pro všechna $u \in \mathcal{B}^n$.



- CUBEBS na M_n vyžaduje celkově $\frac{n(n+1)}{2}$ komunikací na vzdálenosti d_i pro realizaci operací C&E (nebo M&S), kde i probíhá posloupnost

$$[0, 1, 0, 2, 1, 0, 3, 2, 1, 0, \dots, n-1, n-2, \dots, 1, 0].$$

MESHBMS: Simulace CUBEBS na 2-D mřížce (pokr.)

Věta 15

Pro $N = 2^n$, MESHBMS na M_n setřídí N čísel v pořadí Peanova indexování a celkový počet paralelních komunikací **mezi sousedy** je $T(N, N) \approx 7\sqrt{N}$.

Důkaz. Předpokládejme, že n je sudé (důkaz pro liché n je velmi podobný).

Protože $\sum_{i=0}^k 2^i = 2^{k+1} - 1$, dostáváme

$$\begin{aligned} T(N, N) &= \sum_{i=0}^{n-1} \sum_{j=0}^i d_j = \sum_{i=0}^{n-1} \sum_{j=0}^i 2^{\lfloor \frac{j}{2} \rfloor} = \sum_{i=1}^{n/2} 4(2^i - 1) - (2^{\frac{n}{2}} - 1) \\ &= 4 \cdot 2^{\frac{n}{2}+1} - 8 - 2n - 2^{\frac{n}{2}} + 1 = 7\sqrt{N} - O(\log N). \blacksquare \end{aligned}$$

MESHBMS: Simulace CUBEBS na 2-D mřížce (pokr.)

Lemma 16

Permutace *Peanova indexování na řádkové vyžaduje kolem $4\sqrt{N}/3 - \sqrt[4]{N}$ paralelních komunikací mezi sousedy na plně-duplexní SF mřížce s XY přepínáním.*

Důsledek 17 (vět 1 a 15)

Nechť $p = 2^{2k}$, $2k < n$, a $N = 2^n$. Předpokládejme, že komunikační latence výměny k čísel mezi sousedními procesory je téhož řádu jako časová složitost operace M&S 2 setříděných posloupností velikosti k . Pak algoritmus MESHBMS setřídí N čísel na 2-D mřížce $M(\sqrt{p}, \sqrt{p})$ v

$$T(N, p) = O\left(\frac{N}{p} \log \frac{N}{p}\right) + O\left(\frac{N}{\sqrt{p}}\right) \quad \text{paralelních C\&E kroků}$$

$$\psi_1(p) = 2^{\sqrt{p}} \quad \text{a} \quad \psi_2(N) = \log^2 N.$$